



تحلیل تغییرات شاخص‌های هیدرولوژیک جریان تحت تأثیر احداث سد در رودخانه‌های زرینه‌رود و ساروق‌چای (استان آذربایجان غربی)

فریبا اسفندیاری درآباد^{*}، رئوف مصطفی‌زاده^۱، رضا شاهمرادی^۲، علی نصیری خیاوی^۳

وصول مقاله: ۱۳۹۶/۰۹/۱۰ تأیید نهایی مقاله: ۱۳۹۷/۰۸/۲۲

چکیده

افزایش تعداد احداث سدها در ایران، باعث تغییرات هیدرولوژیکی در اکوسیستم‌های رودخانه‌ای شده است. هدف پژوهش حاضر، بررسی تغییر شاخص‌های هیدرولوژیک جریان تحت تأثیر احداث سد در رودخانه‌های زرینه‌رود و ساروق‌چای در دوره‌ی آماری ۱۳۹۱-۱۳۳۴ می‌باشد. بنابراین ابتدا تعداد ۱۸ شاخص هیدرولوژیک جریان در چهار گروه اصلی شامل جریان پیک، جریان حداقل، تداوم جریان و تغییرپذیری جریان مورد محاسبه قرار گرفت. پس از محاسبه مقادیر شاخص‌ها، درصد اختلاف آن‌ها در دوره‌های قبل و بعد از احداث سدها در هر ایستگاه هیدرومتری برآورد شد. سپس با استفاده از نرم‌افزار Surfer تعییرات زمانی شاخص‌های هیدرولوژیک جریان به ازای مقادیر مختلف دبی ارزیابی شد. براساس نتایج، در ایستگاه سارق‌قامیش، شاخص‌های Min و Q10 با مقادیر عددی ۴۵/۵۷ و ۴۲/۲۸- درصد بهترین و کمترین تعییرات را داشته‌اند. در ایستگاه میاندوآب شاخص Q95 تعییر افزایشی و شاخص Rate of falling سیر نزولی را نشان می‌دهند. با توجه به نتایج کمی مربوط به درصد اختلاف شاخص‌های هیدرولوژیک، سدهای احمدآباد، گوگردچی، نوروزلو و شهید کاظمی در جریان طبیعی رودخانه‌های زرینه‌رود و ساروق‌چای اثرگذار بوده است و باعث تغییر شاخص‌ها در دوره‌های مورد مطالعه شده است.

کلمات کلیدی: حوضه‌ی دریاچه‌ی ارومیه، زرینه‌رود، ساروق‌چای، سد شهید کاظمی، شاخص‌های هیدرولوژیک جریان.

۱- دانشیار گروه جغرافیای طبیعی، دانشکده‌ی ادبیات و علوم انسانی، دانشگاه محقق اردبیلی، اردبیل، ایران (نویسنده‌ی مسئول).
E-mail:esfandyari@uma.ac.ir

۲- استادیار گروه منابع طبیعی، دانشکده‌ی کشاورزی و منابع طبیعی، دانشگاه محقق اردبیلی، اردبیل، ایران.

۳- کارشناس ارشد ژئومورفولوژی در برنامه‌ریزی محیطی، دانشگاه محقق اردبیلی، اردبیل، ایران.

۴- دانشجوی دکتری علوم و مهندسی آبخیزداری، دانشکده‌ی منابع طبیعی و علوم دریایی، دانشگاه تربیت مدرس، ایران.

مقدمه

بهره‌برداری بی‌رویه از منابع آب‌های سطحی از جمله رودخانه‌ها باعث تخریب منابع آبی سطحی شده است (خروشی و همکاران، ۱۳۹۵: ۳۸۰؛ گائو و همکاران^۱، ۲۰۰۹: ۱). همچنین تغییرات در دبی جریان به چالش‌های اساسی برای برنامه‌ریزی و مدیریت منابع آب تبدیل شده است (صفری‌شاد و همکاران، ۱۳۹۶: ۱۵). در سراسر جهان، از سازمان‌های مرتبط با امور و کاربران آب خواسته می‌شود تا جریان‌های طبیعی آب مورد نیاز برای حفظ گونه‌های گیاهی و جانوری حاشیه‌ی رودخانه‌ها را مورد توجه قرار دهند (پوستل^۲ و ریشر، ۲۰۰۳: ۲۰۶ و ۲۰۷؛ متیوس^۳ و ریشر، ۲۰۰۷: ۳). تغییرات هیدرولوژیکی ناشی از سد و مشکلات زیست‌محیطی مربوط به آن از جمله تخریب اراضی کشاورزی، تخریب سازه‌ها و همچنین از بین رفتن زیستگاه‌ها و مرگ آبزیان باعث نگرانی‌های زیادی را برای هیدرولوژیست‌ها، اکولوژیست‌ها و سیاست‌گذاران ایجاد کرده است (روزنبرگ و همکاران^۴، ۲۰۰۰: ۷۴۶ و ۷۴۷؛ ژانگ و همکاران^۵، ۲۰۱۵: ۱). اختلال فیزیکی جریان‌های بالا و پایین در اثر احداث سد، باعث تغییرات در ساختار و زیستگاه رودخانه می‌شود (بون و آرتینگتون^۶، ۲۰۰۲: ۴۹۲ و ۴۹۳). ارزیابی تغییرات جریان در درک اثرات عمیق سدها بر روی سیستم‌های طبیعی رودخانه و برای بهینه‌سازی نقش تنظیم سدها مهم است (پوف و همکاران^۷، ۲۰۰۷: ۱). مطالعات صورت گرفته در سال‌های اخیر بر میزان اثرات سدسازی بر تغییرات جریان و نیز کاهش مقدار دبی رودخانه‌های تحت تأثیر سد تمرکز داشته است (فیتزهوج و ووگل^۸، ۲۰۱۱: ۱۱۹۲ و ۱۱۹۳؛ گریل و همکاران^۹، ۲۰۱۵: ۳). بنابراین، ارزیابی منابع آب مربوط به سدها باید

1- Gao et al.,

2- Postel

3- Mathews

4- Rozenberg et al.,

5- Zhang et al.,

6- Bunn and Arthington

7- Poff et al.,

8- FitzHugh and Vogel

9- Grill et al.,

شامل ارزیابی رژیم کل جریان باشد تا بتواند دامنه‌ی دقیق‌تر تغییرات هیدرولوگراف را به دست آورد (ژانگ و همکاران، ۲۰۱۷: ۶). زو و لیانگ^۱ (۲۰۱۵)، در استان هنان^۲ در چین، به بررسی اثرات سد روی رژیم جریان رودخانه‌ی شایینگ^۳ با استفاده از شاخص‌های تغییر هیدرولوژیک (IHA^۴) و رویکرد دامنه‌ی تغییرات (RVA^۵) پرداختند و به این نتیجه رسیدند که احداث سدها تأثیر زیادی روی رژیم جریان رودخانه دارند به طوری که باعث کاهش میزان جریان در دوره‌ی پس از احداث سد از ۳/۵ به ۱۸۱/۱ درصد کاهش یافته است. سوچکا و همکاران^۶ (۲۰۱۶) ارزیابی اثرات احداث سد بر تغییرات هیدرولوژیکی جریان رودخانه‌ی پووا با استفاده از IHA و رویکرد دامنه‌ی تغییرپذیری (RVA) را مورد بررسی قرار دادند. نتایج نشان داد که سد مخزنی تأثیر متوسطی بر رژیم هیدرولوژیک رودخانه داشته است و همچنین تأثیر چشمگیری در تغییر شاخص‌های هیدرولوژیک جریان رودخانه‌ی پووا شده است. ساخت مخزن تأثیر مثبت بر تأمین جریان‌های کمینه دارد که برای حفاظت از زیست‌بوم‌های رودخانه‌ای اهمیت دارد همچنین موجب کاهش کنترل سیل‌ها می‌شود. با توجه به رشد و توسعه سدسازی در جهان بهویژه در ایران، لزوم بررسی اثرات سد بر تغییرات جریان رودخانه‌ای از اهمیت خاصی برخوردار است. با توجه به این که اکثریت قریب به اتفاق از سیستم‌های رودخانه‌ای جهان تحت کنترل و جریان آب قرار می‌گیرند و بیش‌تر رودخانه‌های جهان تحت تأثیر سدها قرار دارند (نیلسون و همکاران^۷، ۲۰۰۵: ۱) و از طرفی اثرات گزارش شده از سدها مربوط به تخریب زیستگاه، کاهش بهره‌وری، کاهش دامنه توزیع و تغییرات ثبت شده برای ترکیب جمعیت آبزیان است (کاتالانو و همکاران^۸، ۲۰۰۷: ۵۱۹).

1- Zou and Liang

2- Henan

3- Shaying

4- Indicators of Hydrologic Alteration

5- Range of Variability Approach

6- Sojka et al.,

7- Nillson et al.,

8- Catalano et al.,

و ۵۲۰؛ اسلاؤسکی و همکاران^۱، ۱۰۰۸: ۱۰۲۰ و ۱۰۲۱). آذرنگ و همکاران (۱۳۹۴)، به بررسی اثرات احداث سدهای بزرگ بر شرایط جریان و پارامترهای هیدرولیکی رودخانه‌ی کرخه با استفاده از مدل HEC-RAS پرداختند و پارامترهای هیدرولیکی به ازای دبی‌های مشخص قبل و بعد از ساخت سد را محاسبه نمودند که نشان‌دهنده‌ی کاهش چشم‌گیر پارامترهای دبی حداکثر، حداقل و متوسط شده است. همچنین درصد میزان کاهش پارامتر شعاع هیدرولیکی نسبت به شرایط قبل از ساخت سد به ازای دبی‌های مشخصه حداقل، متوسط و حداکثر به ترتیب ۳۳ درصد، ۲۸ درصد و ۵۹ درصد کاهش را نشان می‌دهد. عزیزی و همکاران (۱۳۹۵) با استفاده از مدل Vensim به ارزیابی عملکرد بهره‌برداری از سدهای حوضه‌ی آبریز ارومیه با رویکرد پویایی سیستم‌ها پرداختند. نتایج حاکی از این بود که طرح‌های سازه‌ای در سطح حوضه ۴۲ درصد از جریان ورودی به دریاچه را کاهش داده‌اند که از این میزان حدود ۲۶ درصد مربوط به بهره‌برداری از هفت سد اصلی است ۱۶ درصد در ارتباط با توسعه کشاورزی و افزایش بهره‌برداری از نیاز آبی در حوضه بوده است. در حوضه‌ی دریاچه‌ی ارومیه، تعداد ۶۷ سد توسط وزارت نیرو (۲۴ سد بزرگ و ۴۳ سد کوچک) و تعداد ۵۰ سد کوچک نیز توسط جهاد کشاورزی احداث شده است. از میان ۲۴ سد مهم حوضه، ۱۳ سد بزرگ ساخته شده و در حال بهره‌برداری است. سهم استان آذربایجان غربی از حجم مخازن سدها و آب تنظیم شده در حدود ۷۴ درصد است. این سهم برای استان‌های آذربایجان شرقی و کردستان به ترتیب ۲۱ و ۵ درصد می‌باشد. حدود ۹۰ درصد آب‌های سطحی حوضه‌ی دریاچه‌ی ارومیه توسط ۲۴ سد مهم حوضه، کنترل می‌گردد. در حالی‌که، احیای دریاچه‌ی ارومیه نیازمند ورود جریان‌های قابل توجه از رودخانه‌های پیرامون آن است (یاسی، ۱۳۹۶: ۴ و ۵). از این‌رو هدف تحقیق حاضر، بررسی کمی میزان تغییرات شاخص‌های هیدرولوژیک جریان در چهار گروه اصلی شامل جریان‌های حداقل^۲، جریان‌های حداکثر^۳، تداوم جریان^۴ و

1- Slawski et al.,

2- Low Flows

3- Peak Flows

4- Flow Duration

تغییرپذیری جریان در رودخانه‌های زرینه‌رود (ایستگاه‌های هیدرومتری میاندوآب و ساری‌قامیش) و ساروق‌چای (ایستگاه‌های هیدرومتری صفاخانه، شاخه‌ی راست آلاسقل و شاخه‌ی چپ آلاسقل) می‌باشد.

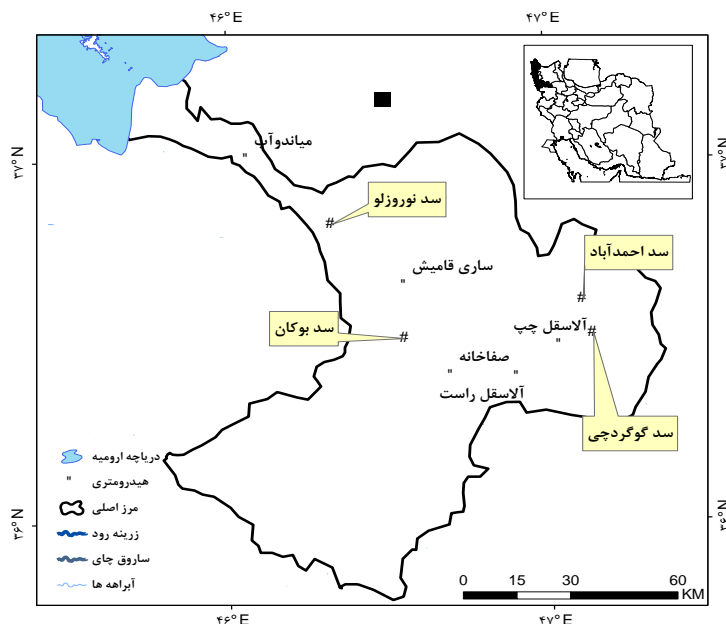
مواد و روش‌ها

- معرفی منطقه مورد مطالعه

حوضه‌ی آبریز دریاچه‌ی ارومیه، در شمال غرب ایران، با مساحت حدود ۵۲۰۰۰ کیلومتر مربع، یکی از شش حوضه‌ی آبریز اصلی کشور است. در حال حاضر، بخش عظیمی از گستره آبی ۵۰۰ کیلومترمربع این دریاچه خشک گردیده، بیش از ۳۰ میلیارد مترمکعب آب آن نسبت به دوره‌های پرآبی دریاچه تا ۱۳۸۶ کم شده و دریاچه نسبت به کمینه‌ی تراز بوم‌شناسانه خود با کمبود بیش از ۱۲ میلیارد مترمکعب مواجه است (صغری سراسکانرود و همکاران، ۱۳۹۴: ۴؛ یاسی، ۱۳۹۶: ۱). شکل (۱) موقعیت مربوط به سدها و ایستگاه‌های هیدرومتری منطقه‌ی مورد مطالعه در حوضه‌ی دریاچه‌ی ارومیه را نشان می‌دهد.

- روش تحقیق

در تحقیق حاضر، میزان تغییر در جریان رودخانه‌های زرینه‌رود (ایستگاه‌های هیدرومتری میاندوآب و ساری‌قامیش) و ساروق‌چای (ایستگاه‌های هیدرومتری صفاخانه، شاخه‌ی راست آلاسقل و شاخه‌ی چپ آلاسقل) در اثر احداث سدها مورد ارزیابی قرار گرفت. داده‌های دبی روزانه ایستگاه‌های هیدرومتری مورد مطالعه از شرکت آب منطقه‌ای استان آذربایجان غربی تهیه گردید که طول دوره‌ی آماری داده‌ها به تفکیک ایستگاه‌های هیدرومتری، ساری‌قامیش دوره‌ی آماری ۱۳۹۱-۱۳۳۴، صفاخانه ۱۳۵۲-۱۳۹۱، میاندوآب ۱۳۹۱-۱۳۴۳، آلاسقل راست ۱۳۹۱-۱۳۶۹ و آلاسقل چپ ۱۳۶۹-۱۳۹۱ سال‌های آبی ۱۳۹۱-۱۳۳۴ می‌باشد. اطلاعات مربوط به ایستگاه‌های هیدرومتری تحت تأثیر سد در رودخانه‌های ساروق‌چای و زرینه‌رود در جدول (۱) ارائه شده است.



شکل (۱) موقعیت ایستگاه‌های هیدرومتری منطقه‌ی مورد مطالعه

جدول (۱) اطلاعات برخی از ایستگاه‌های هیدرومتری تحت تأثیر سد در حوضه‌ی آبریز دریاچه‌ی ارومیه

ردیف	ایستگاه	طول جغرافیایی عرض جغرافیایی	ارتفاع	نام سد	سال بهره‌برداری	نام رویدخانه
۱	شاخه چپ آلاسق	۴۷° ۰' ۰"	۳۶° ۲۹'	احمدآباد	۱۳۵۰	ساروق چای
۲	شاخه راست آلاسق	۴۷° ۰' ۲"	۳۶° ۲۴'	گوگردچی	۱۷۰۰	ساروق چای
۳	صفاخانه	۴۶° ۴۲'	۳۶° ۳۵'	گوگردچی	۱۷۰۰	ساروق چای
۴	میاندوآب زرینه رود	۴۷° ۰' ۱"	۳۶° ۵۴'	نوروزلو	۱۳۸۰	زرینه رود
۵	ساری قامیش	۴۶° ۲۹'	۳۶° ۲۹'	شهید کاظمی	۱۴۳۴	زرینه رود

روند در داده‌های دبی در دوره‌ی زمانی مورد مطالعه با استفاده از نرم افزار مکسنس^۱ که براساس آزمون غیرپارامتریک منکندا^۲ و روش سن^۳ برای تعیین مقادیر روند استفاده می‌شود مورد آزمون قرار گرفت.

1- MAKESENS

2- Mann-Kendall

3- Sen

جدول (۲) مشخصات شاخص‌های هیدرولوژیک مورد استفاده

شماره گروه اصلی شاخص‌های هیدرولوژیک علامت اختصاری واحد	توضیحات
۱	دبی حداکثر یک روزه
۲	دبی حداقل یک روزه
۳	دبی حداقل هفت روزه
۴	تعداد روزهای صفر جریان با دبی صفر
۵	دبی ۱۰ درصد براساس منحنی تداوم جریان
۶	دبی ۵۰ درصد براساس منحنی تداوم جریان
۷	دبی ۷۵ درصد براساس منحنی تداوم جریان
۸	دبی ۹۵ درصد براساس منحنی تداوم جریان
۹	متوسط ضربی سالانه از تغییر در مقادیر جریان سالانه
۱۰	انحراف معیار دبی‌های روزانه
۱۱	معیار آماری تقارن در توزیع داده‌های جریان روزانه
۱۲	معیاری از تیزی منحنی در نقطه‌ی ماکزیمم است
۱۳	شدت اوج گیری
۱۴	شدت فروکش
۱۵	تعداد اوج گیری
۱۶	تعداد فروکش
۱۷	شاخص عکس المعل

ادامه جدول (۲) مشخصات شاخص‌های هیدرولوژیک مورد استفاده

دورةی آماری	توضیحات	شماره گروه اصلی شاخص‌های هیدرولوژیک علامت اختصاری واحد	متوسط زمان بیشتر	بودن جریان رودخانه	عدم تقارن توزیع فراوانی رودخانه اما با حساسیت	از متوسط درازمدت	۱۸
TQmean	[–]	کمتر از ضربی انحراف	عدم تقارن توزیع فراوانی رودخانه اما با حساسیت	بودن جریان رودخانه	متوجه زمان بیشتر	دوهی آماری	

در مرحله‌ی بعدی در نرم‌افزار اکسل تعداد هجده شاخص هیدرولوژیک جریان در چهار گروه اصلی شامل جریان‌های حداکثر، جریان‌های حداقل، تداوم جریان و تغییرپذیری جریان مورد محاسبه قرار گرفت. جریان‌های حداقل که شامل دبی حداقل یک روزه، دبی حداقل ۷ روزه و تعداد روزه‌ای صفر جریان می‌باشد. گروه جریان‌های حداکثر که شامل دبی حداکثر یک روزه را شامل می‌شود. گروه سوم تداوم جریان است که شامل دبی آن نشان‌دهنده‌ی درصد مقادیر دبی برابر یا بیشتر در ایام سال است. در نهایت گروه چهارم که تغییرپذیری جریان می‌باشد و شامل شاخص‌های متوسط ضربی تغییرات سالانه، انحراف معیار، چولگی، کشیدگی، شدت فروکش، تعداد اوج گیری، تعداد فروکش، شاخص عکس‌العمل و شاخص TQmean است. بدین ترتیب ابتدا مقادیر این شاخص‌ها محاسبه شد و سپس درصد اختلاف این شاخص‌ها در براساس مقادیر قبل و بعد از احداث سدها در هر ایستگاه هیدرومتری برآورد گردید و در نهایت در هر گروه اصلی از متوسط درصد اختلاف آن‌ها استفاده شد. جدول (۲) مربوط به هجده شاخص هیدرولوژیک مهم جریان در چهار گروه اصلی است. همچنان در این راستا پس از محاسبه‌ی درصد اختلاف شاخص‌های مهم هیدرولوژیک، باکس پلات و نمودار سه متغیره تغییرات زمانی درصد اختلاف شاخص‌ها در بازه‌های مختلف دبی با استفاده از نرم‌افزار سورفر ارائه شد.

بحث و نتایج

جدول (۳) نتایج مربوط به آزمون Makesens و بررسی روند بین متغیر دبی را نشان می‌دهد. مقادیر مربوط به درصد اختلاف هر یک از شاخص‌های برآورده شده مطابق جدول (۴) می‌باشد.

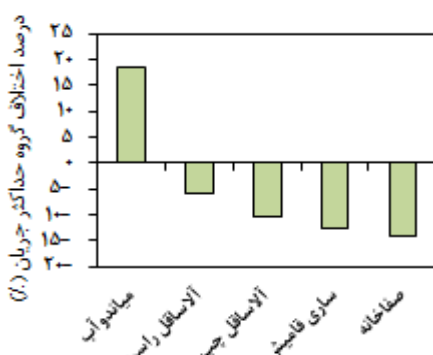
جدول (۳) روند دبی در ایستگاه‌های هیدرومتری در منطقه‌ی مورد مطالعه

Significant (Sig.)	Test Z	هیدرومتری
ns	-۱/۱۴	ساری قامیش
*	-۲/۴۵	صفاخانه
ns	-۰/۸۳	میاندوآب
ns	-۰/۷۹	آلاسقل راست
***	-۳/۴۹	آلاسقل چپ

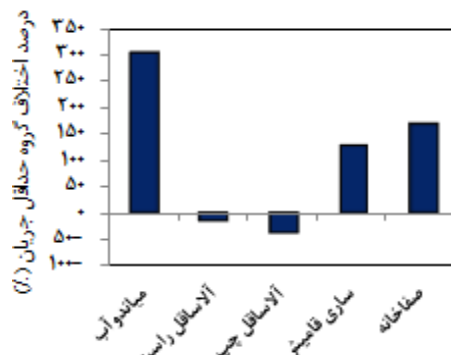
* روند معنادار در سطح ۰/۰۵ ** روند معنادار در سطح ۰/۰۱ ns بدون روند معنادار

براساس نتایج جدول (۳) می‌توان گفت که دبی در ایستگاه‌های هیدرومتری صفاخانه و آلاسقل چپ به ترتیب در سطح ۰/۰۵ و ۰/۰۱ معنادار می‌باشد. با توجه به مقادیر درصد اختلاف شاخص‌های هیدرولوژیک جریان جدول (۳) می‌توان گفت که، در ایستگاه ساری قامیش که تحت تأثیر سد شهید کاظمی بوکان می‌باشد که شاخص‌های Min و Q10 با مقادیر عددی ۴۵/۵۷ و ۲۸۷/۴۲- درصد به ترتیب بیشترین و کمترین تغییرات را داشته‌اند. در ایستگاه هیدرومتری میاندوآب شاخص Q95 سیر صعودی و شاخص نرخ کاهش^۱ سیر نزولی را نشان می‌دهند. در ایستگاه صفاخانه (سد گوگردچی) شاخص تعداد روزهای صفر جریان^۲ ۵۳۸ درصد افزایش و داشته است. هم‌چنین شاخص‌های هیدرولوژیک نرخ افزایش و Q95 در ایستگاه هیدرومتری آلاسقل راست با مقادیر عددی ۲۸/۸۱ و ۸۷/۰۶- درصد به ترتیب سیر صعودی و نزولی را نشان می‌دهند. در نهایت با توجه به مقادیر شاخص‌ها در ایستگاه هیدرومتری آلاسقل چپ می‌توان نتیجه گرفت که شاخص‌های Kurtosis (درصد) و Q95 (۹۷/۵- درصد) به ترتیب در اثر احداث سد احمدآباد حالت صعودی و نزولی را نشان می‌دهند. هم‌چنین هیستوگرام مربوط به متوسط مقادیر درصد اختلاف شاخص‌ها به ترتیب در شکل‌های (۲) تا (۵) ارائه شده است.

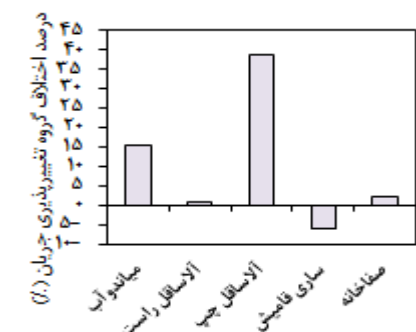
1- Rate of Falling
 2- Zero Days



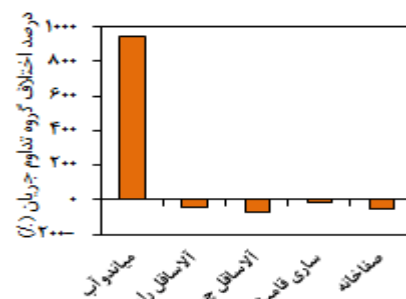
شکل (۳) هیستوگرام درصد اختلاف جریان حداکثر



شکل (۴) هیستوگرام درصد اختلاف تداوم جریان حداکثر



شکل (۵) هیستوگرام درصد اختلاف تغییرپذیری جریان



شکل (۶) هیستوگرام درصد اختلاف تداوم جریان

جدول (۴) مقادیر درصد اختلاف شاخص‌های مهم هیدرولوژیک جریان در رودخانه‌های مورد مطالعه

ردیف	گروه اصلی	شاخص‌های هیدرولوژیک	ساری‌قامیش	میاندوآب	صفاخانه	آلساقل راست آلساقل چپ	درصد اختلاف شاخص‌های هیدرولوژیک جریان
۱	جریان‌های حداکثر	Max	-۱۲/۶۵	-۱۴/۱۶	۱۸/۵۷	-۶/۰۵	-۱۰/۴۸
۲	جریان‌های حداکثر	Min	۲۸۷/۴۲	-۰/۲	۹۰۰	-۱۰	-۲۵
۳	جریان‌های حداکثر	Min7Q	-۱/۷۳	-۳۳/۳	۱۰/۱۳	-۷/۴۴	-۰/۶۷
۴	تعداد روزهای صفر جریان		۱۰۰	۵۳۸	صفر	-۲۶	-۸۱/۰۵
۵	تمدّع جریان	Q10	-۴۵/۵۷	۱۳/۲۳	۱۲/۴	-۱۸	-۸۳/۲۷
۶		Q50	۱۳/۳	۶۵/۳۱	-۱۷	-۲۷/۲	-۷۵/۵۸
۷		Q75	۱۳/۴۶	۳۰۰	-۷۲	-۵۱/۱۵	-۴۶/۶۶
۸		Q95	۸/۷۴	۳۳۹۵	-۹۴/۸	-۸۷/۰۶	-۹۷/۵

ادامه جدول (۴)

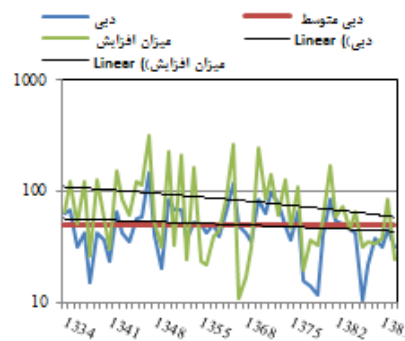
ردیف	گروه اصلی	شاخص‌های هیدرولوژیک	ساری‌قائمیش	میاندوآب	صفاخانه آلاسقل راست	درصد اختلاف شاخص‌های هیدرولوژیک جریان
۹		CV	-۳۰/۷	-۹/۲۱	۹/۷	۱۲۷/۳۴
۱۰		انحراف معیار	-۱۷/۹۴	۱۰/۴۴	-۱۵/۲	۹/۱۲ -۲۱/۱۹
۱۱		چولگی	۰/۴	۳۰/۶۱	۱۹/۸	-۵/۱۷ ۹۶/۴۲
۱۲	تغییرپذیری	کشیدگی	۴/۶	۱۱۴	۲۷/۴۷	-۳۴/۴۳ ۱۸۵/۰۴
۱۳	جریان	میزان افزایش	-۳۰/۵۶	۲۱/۳۴	۱۳/۳	۲۸/۸۱ ۱۲۲/۲۲
۱۴	جریان	میزان کاهش	۱۱/۸۴	-۹/۳	-۲۴/۲	-۲/۱ -۶۱/۹۷
۱۵		Number of rising	۱۰/۲۳	-۱/۸۴	۱۱/۳	-۹/۹۸ -۵۴/۱
۱۶		Number of falling	-۱۰/۱۷	۰/۵۵	-۴/۴۳	۳/۴۶ ۲۰/۴۳
۱۷		Flashinnes	-۰/۲۹	-۰/۱۹	۱	۱۱/۲۲ ۲۵/۷۷
۱۸		TQMean	۲/۸	-۱/۹	۱۱/۳	-۱۰ -۵۴/۱۱

با توجه به شکل‌های (۲) تا (۵) می‌توان بیان کرد که، در هیستوگرام مربوط به گروه جریان‌های حداقل بیشترین درصد اختلاف مربوط به ایستگاه هیدرومتری میاندوآب می‌باشد که نشان از سیر صعودی جریان حداقل در این ایستگاه است و همچنین کمترین مقدار درصد اختلاف در ایستگاه هیدرومتری آلاسقل چپ مشاهده می‌شود. در گروه Peak flows ایستگاه‌های میاندوآب و صفاخانه به ترتیب بیشترین و کمترین درصد اختلاف را در اثر احداث سد از خود نشان می‌دهند. همچنین در گروه هیدرولوژیک Flow duration مشاهده می‌شود که میانگین بیشترین درصد اختلاف در ایستگاه میاندوآب و کمترین درصد اختلاف در ایستگاه آلاسقل چپ است. در نهایت با توجه به گروه Flow variability بیشترین مقدار تغییرپذیری جریان، در ایستگاه آلاسقل چپ در دوره‌ی بعد از احداث سد نسبت به دوره‌ی قبل از احداث سد حالت صعودی را به خود نشان می‌دهد. در خصوص افزایش و کاهش شاخص‌ها در ایستگاه‌ها می‌توان گفت که براساس شکل‌های (۶) تا (۱۳) که نشان‌دهنده‌ی تغییرات شاخص‌های Max و میزان افزایش دبی نسبت به دبی در طول دوره‌های آماری هر ایستگاه هیدرومتری، مشاهده می‌شود که تغییرات صعودی و نزولی شاخص‌ها براساس دوره‌های ترسالی و خشکسالی تغییرکرده

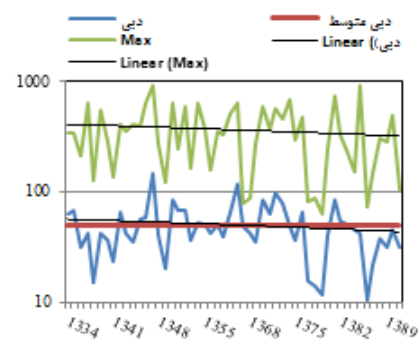
است به طوری که مثلاً در ایستگاه هیدرومتری ساری‌قامیش می‌توان بیان کرد که در طول زمان در دوره‌هایی که مقدار دبی افزایش پیدا کرده است مقدار شاخص Max نیز حالت صعودی داشته است (شکل ۶) همچنین در ایستگاه هیدرومتری میاندوآب نیز شاخص میزان افزایش دبی در طول زمان با دبی تغییر پیدا کرده است و در دوره‌های ترسالی میزان این شاخص روند صعودی به‌خود پیدا کرده است (شکل ۱۱). همچنین هیستوگرام مربوط به ایستگاه هیدرومتری ساری‌قامیش که نشان‌دهنده‌ی مقدار تغییرات شاخص‌های هیدرولوژیک در دوره‌های قبل (۱۳۳۴-۱۳۵۰) و بعد از احداث سد (۱۳۵۰-۱۳۹۱) می‌باشد در شکل (۱۴) ارائه شده است.

با توجه به شکل (۱۴) می‌توان این‌گونه نتایج را بیان کرد که، مقادیر شاخص‌های حداقل دبی، Q_{10} , $Min7Q$, ضریب تغییرات، انحراف معیار، نرخ افزایش، نرخ کاهش در دوره‌های بعد از احداث سد نسبت به دوره‌ی قبل از احداث سد کاهش یافته است. این در حالی است که مقادیر شاخص‌های حداقل جریان، Q_{50} , Q_{75} , Q_{95} , Kurtosis, Rate افزایشی را نشان می‌دهند. این نوسانات در مقادیر شاخص‌ها در دوره‌های قبل و بعد از احداث سد نشان از تغییر دبی جریان می‌باشد و احداث سد موجب ایجاد اختلال در شاخص‌های هیدرولوژیک جریان شده است. همچنین تغییرات زمانی متوسط درصد اختلاف گروه‌های هیدرولوژیکی در دبی‌های مختلف در هر یک از ایستگاه‌های هیدرومتری مورد مطالعه در شکل‌های (۱۵) تا (۱۹) ارائه شده است.

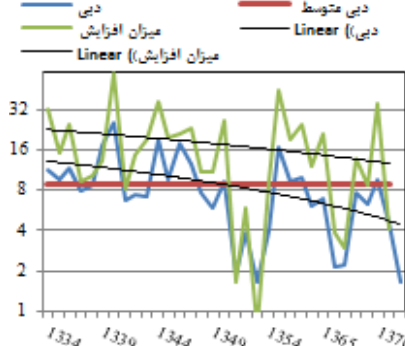
تحلیل تغییرات شاخص‌های هیدرولوژیک جریان تحت تأثیر احداث سد در...
فریبا اسفندیاری درآباد، رئوف مصطفی‌زاده، رضا شاهمرادی، علی نصیری خیاوی



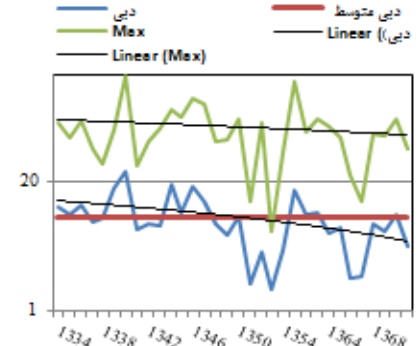
شکل (۷) تغییرات شاخص میزان افزایش نسبت به دبی در ساری‌قامیش



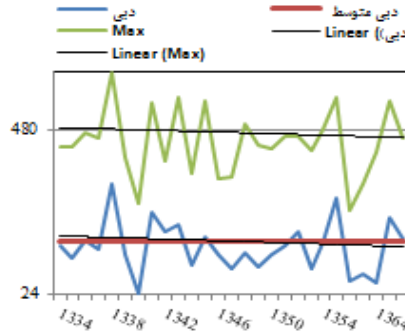
شکل (۶) تغییرات شاخص Max نسبت به دبی در ساری‌قامیش



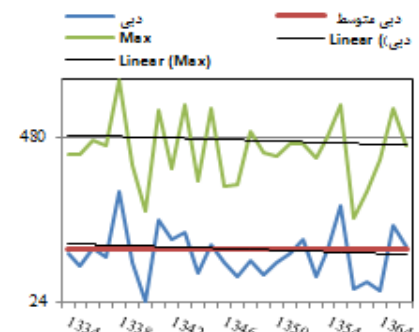
شکل (۹) تغییرات شاخص میزان افزایش نسبت به دبی در صفاخانه



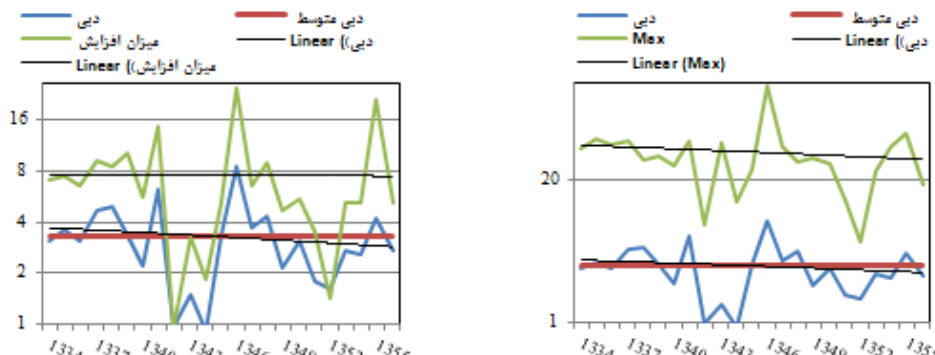
شکل (۸) تغییرات شاخص Max نسبت به دبی در صفاخانه



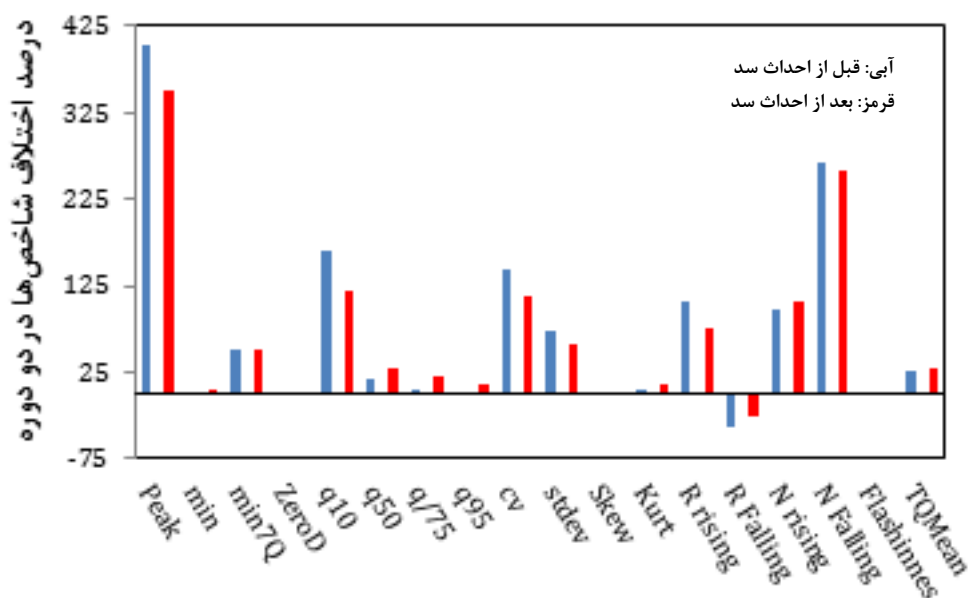
شکل (۱۱) تغییرات شاخص میزان افزایش نسبت به دبی در میاندوآب



شکل (۱۰) تغییرات شاخص Max نسبت به دبی در میاندوآب

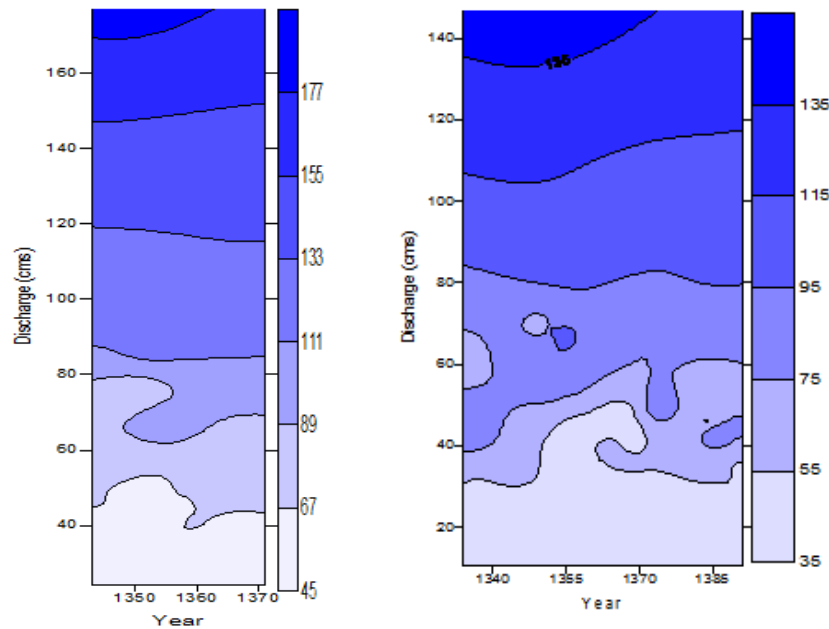


شکل (۱۲) تغییرات شاخص میزان افزایش نسبت به دبی در آلسقل راست



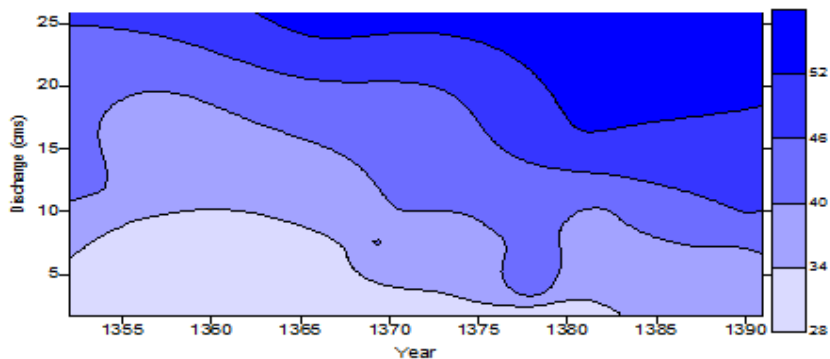
شکل (۱۴) هیستوگرام مقادیر شاخص‌های هیدرولوژیک در دوره‌های قبل و بعد از احداث سد در ایستگاه هیدرومتری ساری قامیش

تحلیل تغییرات شاخص‌های هیدرولوژیک جریان تحت تأثیر احداث سد در...
 فریبا اسفندیاری درآباد، رئوف مصطفی‌زاده، رضا شاهمرادی، علی نصیری خیاوی

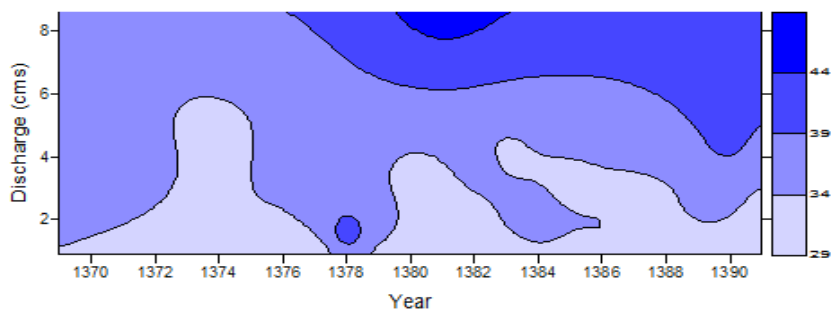


شکل (۱۶) تغییرات شاخص‌های هیدرولوژیک در دبی‌های مختلف در ایستگاه هیدرومتری میاندوآب

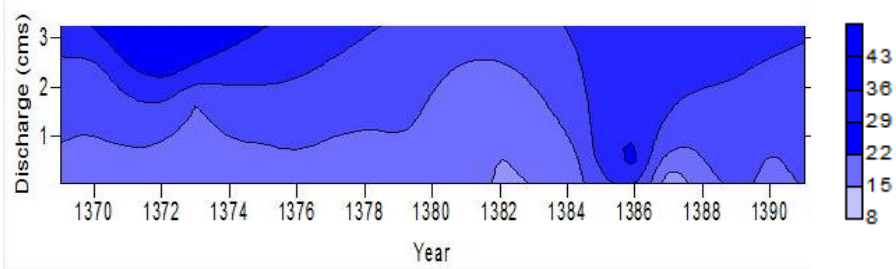
شکل (۱۵) تغییرات شاخص‌های هیدرولوژیک در دبی‌های مختلف در ایستگاه هیدرومتری ساری قامیش



شکل (۱۷) تغییرات شاخص‌های هیدرولوژیک در دبی‌های مختلف در ایستگاه صفاخانه



شکل (۱۸) تغییرات شاخص‌های هیدرولوژیک در دبی‌های مختلف در ایستگاه آلاسقل راست



شکل (۱۹) تغییرات شاخص‌های هیدرولوژیک در دبی‌های مختلف در ایستگاه آلاسقل چپ

براساس شکل (۱۵) می‌توان گفت که در طول دوره‌ی آماری مورد مطالعه در ایستگاه هیدرومتری ساری قامیش تغییرات چهار گروه هیدرولوژیکی اصلی (جريان‌های حداقل، جريان‌های حداکثر، تداوم جريان و تغييرپذيری جريان) در تحقيق حاضر، در دبی‌های ۰-۲۰ متر مكعب بر ثانие ميزان تغييرات نسبت به دبی‌های بالاتر (۱۴۰-۱۲۰) متر مكعب بر ثانие بسيار كمتر می‌باشد. همچنین شکل (۱۶) تغییرات چهار گروه هیدرولوژیکی اصلی را در ایستگاه هیدرومتری مياندوآب نشان می‌دهد که تأييد‌کننده‌ی يافته‌های شکل (۱۵) می‌باشد که در دبی‌های ۰-۴۰ متر مكعب بر ثانие در طول دوره‌ی آماری ميزان تغييرات شاخص‌های هیدرولوژیک جريان رودخانه‌ی زرينه‌رود كمتر می‌باشد ولی در دبی‌های بيش‌تر از ۴۰ متر مكعب بر ثانие تغييرات جريان رودخانه‌ی افزايش يافته است. در ایستگاه هیدرومتری صفاخانه نيز می‌توان گفت که در بين سال‌های ۱۳۸۴-

۱۳۵۲ میزان تغییرات جریان در دبی‌های ۵-۰ متر مکعب بر ثانیه اندک می‌باشد ولی در دبی‌های بالاتر یعنی در مقادیر بیشتر از ۲۰ متر مکعب بر ثانیه این تغییرات گروه‌های هیدرولوژیک افزایش پیدا کرده است (شکل ۱۷). با توجه به شکل (۱۸) که نشان‌دهنده تغییرات چهار گروه هیدرولوژیک اصلی در بازه‌های مختلف دبی در ایستگاه هیدرومتری آلسقل راست می‌باشد نیز می‌توان این‌گونه بیان کرد که الگوی تغییرات گروه‌های هیدرولوژیک در طول دوره‌ی آماری از نظم خاصی پیروی نمی‌کند.

نتیجه‌گیری

براساس نتایج، شاخص‌های هیدرولوژیک مورد بررسی در تحقیق حاضر در اثر احداث سد نوسان داشته‌اند به‌طوری‌که در برخی از آن‌ها اثر احداث سد به‌گونه‌ای بوده است که باعث افزایش آن‌ها در دوره‌های بعد از احداث سد شده است و در برخی از آن‌ها حالت نزولی به‌خود گرفته است. در ایستگاه صفاخانه شاخص تعداد روزهای صفر جریان افزایش یافته است که می‌تواند ناشی از سیستم متعادل‌سازی جریان توسط سدهای احداث شده باشد و به‌صورت بالقوه سبب افزایش مرگ و میر آبزیان شود. روند دبی جریان در رودخانه‌های صفاخانه و آلسقل چپ، منفی بوده که تبعاً در طی دوره‌ی کاهش دبی یا جریان را به‌همراه داشته است. در ایستگاه هیدرومتری میاندوآب، مقدار شاخص حداکثر جریان نسبت به سایر ایستگاه‌ها بیشتر بوده که می‌تواند ناشی از بالا بودن متوسط دبی در طول دوره آماری در این ایستگاه باشد. نتایج مربوط به متوسط درصد اختلاف شاخص‌ها نشان می‌دهد که در ایستگاه هیدرومتری میاندوآب گروه‌های اصلی جریان‌های حداقل، جریان‌های حداکثر و تداوم جریان در دوره‌ی بعد از احداث سد افزایش داشته است و احداث سد باعث بر هم خوردن تعادل هیدرولوژیکی و بروز تغییر و بی‌نظمی در شاخص‌های جریان رودخانه‌ای شده است. از طرفی مقایسه‌ی دوره‌های ترسالی و خشکسالی در ایستگاه‌های هیدرومتری و شاخص‌های حداکثر و میزان افزایش دبی حاکی از این بود که در دوره‌های ترسالی مقدار این شاخص‌ها حالت صعودی داشته است این در حالی است که در دوره‌های خشکسالی کاهش مقدار این

شاخص‌ها و در نتیجه کاهش دبی جریان مشاهده شد. به‌طور کلی احداث سدها در رودخانه‌های زرینه‌رود و ساروق‌چای موجب تغییرات قابل توجه در شاخص‌های هیدرولوژیکی جریان شده‌اند و همچنین در اثر احداث سد، میزان بی‌نظمی در شاخص‌های هیدرولوژیک جریان افزایش یافته است. همچنین مطالعاتی که در خصوص بررسی الگوی تغییرات جریان رودخانه می‌باشد امکان اتخاذ تصمیم‌گیری‌های مدیریتی را فراهم می‌سازد که می‌توان از این مطالعات در بهینه‌سازی بهره‌برداری از رودخانه‌های طبیعی استفاده نمود.

منابع

- اصغری سراسکانروود، صیاد (۱۳۹۳)، تحلیل تأثیرات برداشت شن و ماسه بر مورفولوژی رودخانه‌ی قرنقو (محدوده بعد از سد سنهند تا روستای خراسانک)، هیدرولوژیومورفولوژی، شماره‌ی ۱، صص ۳۹-۲۱.
- اصغری سراسکانروود، صیاد و مهدی پوراحمد (۱۳۹۴)، شناسایی و استخراج تغییرات رودخانه زرینه‌رود در فاصله سال‌های ۱۹۸۹ تا ۲۰۱۴ با استفاده از پردازش تصاویر ماهواره‌ای، هیدرولوژیومورفولوژی، شماره‌ی ۵، صص ۱۶-۱.
- آذرنگ، فرهنگ؛ تلوی، عبدالرسول؛ صدقی، حسین و محمود شفاعی بجستان (۱۳۹۴)، اثرات احداث سدهای بزرگ بر شرایط جریان و پارامترهای هیدرولیکی رودخانه (مطالعه‌ی موردي: رودخانه‌ی کرخه پایین‌دست سد مخزنی)، آب و خاک، جلد ۳۱، شماره‌ی ۱، صص ۲۷-۱۱.
- پیری، زهراء؛ رضایی‌مقدم، محمدحسین و محمد عاشوری (۱۳۹۱)، بررسی تأثیر احداث سد در جابه‌جایی مسیر و تغییر الگوی رودخانه با استفاده از GIS و سنجش از دور (مطالعه‌ی موردي: رودخانه‌ی اهر چای)، جغرافیا و برنامه‌ریزی محیطی، سال ۲۵، پیاپی ۵۶، شماره‌ی ۴، صص ۱۲-۱.
- خروشی، سعید؛ مصطفی‌زاده، رئوف؛ اسماعلی عوری، اباذر و مجید رئوف (۱۳۹۵)، ارزیابی تغییرات زمانی و مکانی شاخص سلامت هیدرولوژیک رودخانه در حوضه‌های آبخیز استان اردبیل، اکوهیدرولوژی، دوره‌ی ۴، شماره‌ی ۲، صص ۳۹۳-۳۷۹.
- صفری‌شاد، مهتاب؛ حبیب‌نژاد روش، محمود؛ سلیمانی، کریم؛ ایلدرمی، علی‌رضا و حسین زینی‌وند (۱۳۹۶)، پتانسیل تأثیر تغییر اقلیم بر جریان رودخانه در حوضه‌ی آبخیز همدان-بهار، هیدرولوژیومورفولوژی، شماره‌ی ۱۰، صص ۹۸-۸۱.
- مقدسی، نفیسه؛ بردى شیخ، واحد؛ نجفی‌نژاد، علی و ایمان کریمی‌راد (۱۳۹۳)، تأثیر اقدامات مکانیکی بر دبی اوج آبخیز سد بوستان با استفاده از سامانه مدل‌سازی آبخیز، مهندسی و مدیریت آبخیز، جلد ۸، شماره‌ی ۳، صص ۳۳۸-۳۳۲.

- یاسی، مهدی (۱۳۹۶)، مدیریت رودخانه‌ها و سدها در تأمین و هدایت آب به دریاچه‌ی ارومیه، مجله‌ی پژوهش‌های راهبردی در علوم کشاورزی و منابع طبیعی، جلد ۲، شماره‌ی ۱، صص ۵۹-۷۶.

- Bunn, S.E., and A.H. Arthington (2002), **Basic principles and ecological consequences of altered flow regimes for aquatic biodiversity**, Environmental Management, Vol. 30, No. 4, PP. 492–507.
- FitzHugh, T.W., and R.M. Vogel (2011), **The impact of dams on flood flows in the United States**, River Research Applications, Vol. 27, No. 10, PP. 1192-1215.
- Gao, Y., R.M. Vogel., C.C. Kroll., N.L. Poff., and Olden, J.D. (2009), **Development of Representative**, PP. 1-12.
- Grill, G., B. Lehne., A.E. Lumsdon., G.K. MacDonald., C. Zarfl., and C.R. Liermann (2015), **An index-based framework for assessing patterns and trends in river fragmentation and flow regulation by global dams at multiple scales**, Environmental Research Letters, Vol.10, No.1, PP. 015001.
- ICOLD, (2007), **Dams and the World's Water**. International Commission on Large Dams, PP. 64.
- Kennard, M.J., S.J. Mackay., B.J. Pusey., J.D. Olden. and N. Marsh., (2010a), **Quantifying uncertainty in estimation of hydrologic metrics for ecohydrological studies**, River Research and Applications, Vol. 26, No. 2, PP. 137–156.
- Mathews, R., and B.D. Richter, (2007), **Application of The Indicators of Hydrologic Alteration Software in Environment Flow Setting**, Journal of the American Water Resources Association, Vol. 43, No. 6, PP. 1400-1413.
- Poff, N.L., J.D. Olden., D. Merritt., and D. Pepin, (2007), **Homogenization of regional river dynamics by dams and global biodiversity implications**. Proceedings of the Natural Academic Science, No. 104, PP. 5732–5737.
- Postel, S. and B. Richter, (2003), **Rivers for Life: Managing Water for People and Nature**, Island Press, Vol 20, PP. 751-752.

- Richter, B.D., J.V. Baumgartner., D.P. Braun., and J. Powell, (1998), **A Spatial Assessment of Hydrologic Alteration within a River Network**, Regulated River: Research and Management, PP. 329-340.
- Rozenberg, D.M., P. MacCully.. and C.M. Pringle, (2000), **Global-Scale Environmental Effects of Hydrological Alterations**, International River, PP. 1-16.
- Salmi, T., A. Maatta., P. Anttila., T. Ruoho-Airola., and T. Amnell, T (2002). **Detecting trends of annual values of atmospheric pollutants by the Mann-Kendall test and Sen's slope estimates the excel template application MAKESENS**, Finnish Meteorological Institute, PP. 1-35.
- Slawski, T.M., F.M. Veraldi., S.M. Pescitelli., and M.J. Pauers, (2008), **Effects of tributary spatial position, urbanization, and multiple low-head dams on warm water fish community structure in a Midwestern stream**, North American Journal of Fisheries Management, No. 28, PP. 1020–1035.
- Sojka, M., J. Jaskula., J. Wischer-Dysarz., and T. Dysarz (2016). **Assessment of dam construction impact on hydrological regime changes in lowland river – A case of study: the Stare Miasto reservoir located on the Powa River**. Journal of Water and Land Development, Vol. 30, No. 1, 119-125.
- Zhang, Q., X. Gu., V.P. Singh., and X. Chen, (2015), **Evaluation of Ecological Instream Flow Using Multiple Ecological Indicators with Consideration of Hydrological Alterations**, Journal of Hydrology, Vol. 529, PP. 711-722.
- Zou, Q., S.H. Liang, (2015), **Effects of Dams on River Flow Regime Based on IHA/RVA. Remote Sensing and GIS for Hydrology and Water Resources**, PP. 1-6.